

安徽医科大学学报  
*Acta Universitatis Medicinalis Anhui*  
ISSN 1000-1492,CN 34-1065/R

## 《安徽医科大学学报》网络首发论文

题目：淫羊藿苷下调 TGF- $\beta$  /Smad 信号通路抑制三阴性乳腺癌侵袭转移  
作者：肖增友，杨泽安，陈彩红，李佳贤，何钰洁，付品婷，王杰  
网络首发日期：2025-08-25  
引用格式：肖增友，杨泽安，陈彩红，李佳贤，何钰洁，付品婷，王杰. 淫羊藿苷下调 TGF- $\beta$  /Smad 信号通路抑制三阴性乳腺癌侵袭转移[J/OL]. 安徽医科大学学报.  
<https://link.cnki.net/urlid/34.1065.R.20250825.1247.002>



**网络首发：**在编辑部工作流程中，稿件从录用到出版要经历录用定稿、排版定稿、整期汇编定稿等阶段。录用定稿指内容已经确定，且通过同行评议、主编终审同意刊用的稿件。排版定稿指录用定稿按照期刊特定版式（包括网络呈现版式）排版后的稿件，可暂不确定出版年、卷、期和页码。整期汇编定稿指出版年、卷、期、页码均已确定的印刷或数字出版的整期汇编稿件。录用定稿网络首发稿件内容必须符合《出版管理条例》和《期刊出版管理规定》的有关规定；学术研究成果具有创新性、科学性和先进性，符合编辑部对刊文的录用要求，不存在学术不端行为及其他侵权行为；稿件内容应基本符合国家有关书刊编辑、出版的技术标准，正确使用和统一规范语言文字、符号、数字、外文字母、法定计量单位及地图标注等。为确保录用定稿网络首发的严肃性，录用定稿一经发布，不得修改论文题目、作者、机构名称和学术内容，只可基于编辑规范进行少量文字的修改。

**出版确认：**纸质期刊编辑部通过与《中国学术期刊（光盘版）》电子杂志社有限公司签约，在《中国学术期刊（网络版）》出版传播平台上创办与纸质期刊内容一致的网络版，以单篇或整期出版形式，在印刷出版之前刊发论文的录用定稿、排版定稿、整期汇编定稿。因为《中国学术期刊（网络版）》是国家新闻出版广电总局批准的网络连续型出版物（ISSN 2096-4188，CN 11-6037/Z），所以签约期刊的网络版上网络首发论文视为正式出版。

## 淫羊藿昔下调 TGF- $\beta$ /Smad 信号通路抑制三阴性乳腺癌侵袭转移

肖增友<sup>1,2,3</sup>, 杨泽安<sup>1,2,3</sup>, 陈彩红<sup>4</sup>, 李佳贤<sup>3</sup>, 何钰洁<sup>3</sup>, 付品婷<sup>3</sup>, 王杰<sup>1,2,3</sup>

(<sup>1</sup>安徽医科大学上海普陀中心临床学院, 上海 200062; <sup>2</sup>安徽医科大学第五临床医学院, 上海 200062; <sup>3</sup>上海中医药大学附属普陀医院甲乳外科, 上海 200062; <sup>4</sup>上海市宝山区顾村镇菊泉新城社区卫生服务中心, 上海 200436)

**摘要 目的** 探讨淫羊藿昔 (ICA) 下调转化生长因子- $\beta$ /Smad (TGF- $\beta$ /Smad) 信号通路抑制人三阴性乳腺癌 (TNBC) 细胞侵袭转移的作用机制。**方法** 体外培养 TNBC 细胞 (MDA-MB-231 和 MDA-MB-468), 分为 4 组, 加入 ICA (15  $\mu$ mol/L) 设为实验组; 加入 10  $\mu$ mol/L TGF- $\beta$  受体抑制剂 LY2109761 设为模型组; 在模型组基础上, 加入 15  $\mu$ mol/L ICA 设为 LY2109761+ICA 组; 另设对照组。CCK-8、平板克隆、5-乙炔基-2'脱氧尿嘧啶核苷 (EdU)、细胞划痕和 Transwell 实验检测细胞增殖、迁移和侵袭能力; 免疫荧光和 Western blot 实验检测上皮一间质转化 (EMT) 相关蛋白以及转化生长因子  $\beta$ 1 (TGF- $\beta$ 1)、Smad2 和磷酸化 Smad2 (P-Smad2) 通路蛋白表达水平。**结果** CCK-8 结果显示随着 ICA 浓度增加, 细胞的增殖能力逐渐减弱 ( $P < 0.001$ )。平板克隆与 EdU 法结果显示, 与对照组相比, 实验组细胞增殖能力减弱 ( $P < 0.05$ )。划痕和 Transwell 实验显示, 与对照组相比, 实验组细胞迁移和侵袭能力下降 ( $P < 0.05$ )。与模型组相比, LY2109761+ICA 组细胞侵袭能力进一步下降 ( $P < 0.05$ )。免疫荧光结果显示, 与对照组相比, 实验组细胞波形蛋白 (Vimentin) 表达下降 ( $P < 0.05$ )。与模型组相比, LY2109761+ICA 组细胞 Vimentin 蛋白表达进一步下降 ( $P < 0.01$ )。Western blot 结果显示, 与对照组相比, 实验组细胞神经钙粘蛋白 (N-cadherin)、基质金属蛋白酶-9 (MMP9)、Vimentin 以及 TGF- $\beta$ 1、Smad2、P-Smad2 蛋白表达量下降 ( $P < 0.05$ )。与模型组相比, LY2109761+ICA 组细胞 N-cadherin、MMP9、Vimentin 以及 TGF- $\beta$ 1、Smad2、P-Smad2 蛋白表达量进一步下降 ( $P < 0.05$ )。**结论** ICA 通过下调 TGF- $\beta$ /Smad 信号通路抑制 TNBC 细胞增殖、侵袭转移和 EMT。

---

基金项目: 国家自然科学基金项目 (编号: 81973625); 成都中医药大学“杏林学者”学科人才科研提升计划项目 (编号: YYZX2022164); 上海市名老中医工作室建设项目 (编号: SHGZS-202224)

作者简介: 肖增友, 男, 硕士研究生;

王杰, 男, 副教授, 副主任医师, 硕士生导师, 通信作者, E-mail:  
wangjie4177@126.com

关键词 淫羊藿苷；三阴性乳腺癌；TGF- $\beta$ /Smad；侵袭转移；上皮间质转化；分子机制

中图分类号 R737.9

文献标志码 A

## Icariin inhibits the migration and invasion of triple negative breast cancer by interfering the TFG- $\beta$ /Smad signalling pathway

Xiao Zengyou<sup>1,2,3</sup>, Yang Zean<sup>1,2,3</sup>, Chen Caihong<sup>4</sup>, Li Jiaxian<sup>3</sup>, He Yujie<sup>3</sup>, Fu Pinting<sup>3</sup>, Wang Jie<sup>1,2,3</sup>

(<sup>1</sup>*Shanghai Putuo Central School of Clinical Medicine, Anhui Medical University, Shanghai 200062;* <sup>2</sup>*The Fifth School of Clinical Medicine, Anhui Medical University, Shanghai 200062;* <sup>3</sup>*Dept of Thyroid and Breast Surgery, Putuo Hospital, Shanghai University of Traditional Chinese Medicine, Shanghai 200062;* <sup>4</sup>*Juquan New Town Community Health Service Center, Gucun Town, Baoshan District, Shanghai 200436*)

**Abstract Objective** To investigate the mechanism by which icariin (ICA) inhibits the invasion and metastasis of human triple-negative breast cancer (TNBC) cells via downregulation of the transforming growth factor- $\beta$ /Smad (TGF- $\beta$ /Smad) signaling pathway. **Methods** TNBC cells (MDA-MB-231 and MDA-MB-468) were cultured *in vitro* and divided into four groups: an experimental group treated with 15  $\mu$ mol/L ICA; a model group treated with 10  $\mu$ mol/L TGF- $\beta$  receptor inhibitor LY2109761; a combination group (LY2109761+ICA) treated with both 15  $\mu$ mol/L ICA and 10  $\mu$ mol/L LY2109761; and a control group. Cell proliferation, migration, and invasion were assessed using CCK-8, colony formation, 5-ethynyl-2'-deoxyuridine (EdU), wound healing, and Transwell assays. The expression levels of epithelial-mesenchymal transition (EMT)-related proteins, as well as TGF- $\beta$ 1, Smad2, and phosphorylated Smad2 (P-Smad2) were detected by immunofluorescence and Western blot. **Results** CCK-8 results showed that cell proliferation decreased gradually with increasing concentrations of ICA ( $P<0.05$ ). Colony formation and EdU assays indicated significantly inhibited proliferation in the ICA-treated group compared to the control ( $P<0.05$ ). Wound healing and Transwell assays demonstrated reduced migration and invasion capabilities in the experimental group relative to the control ( $P<0.05$ ). Compared to the model group, the LY2109761+ICA group exhibited further suppression of invasion ( $P<0.05$ ). Immunofluorescence revealed decreased Vimentin expression in the experimental group ( $P<0.05$ ), with an even more pronounced reduction in the LY2109761+ICA group ( $P<0.01$ ). Western blot

analysis showed that the protein levels of N-cadherin, matrix metalloproteinase-9 (MMP9), Vimentin, TGF- $\beta$ 1, Smad2, and P-Smad2 were downregulated in the experimental group compared to the control ( $P<0.05$ ). These proteins were further suppressed in the LY2109761+ICA group compared to the model group ( $P<0.05$ ). **Conclusions** ICA inhibits TNBC cells proliferation, invasion, metastasis, and EMT by downregulating the TGF- $\beta$ /Smad signaling pathway.

**Key words** icariin; triple-negative breast cancer; TGF- $\beta$ /Smad; invasion and metastasis; epithelial-mesenchymal transition; molecular mechanisms

**Fund programs** National Natural Science Foundation of China (No.81973625); "Xinglin Scholar" Discipline Talent Research Enhancement Program of Chengdu University of Traditional Chinese Medicine (No. YYZX2022164); Shen Hongquan's Academic Experience Research Studio of Shanghai Famous Veteran TCM Expert (No. SHGZS-202224)

**Corresponding author** Wang Jie, E-mail: wangjie4177@126.com

全球每年约有 100 万名女性被诊断为乳腺癌，其中三阴性乳腺癌(**triple-negative breast cancer, TNBC**) 占 15%~20%<sup>[1]</sup>。与其他乳腺癌亚型相比，TNBC 有较高的早期转移风险且预后较差<sup>[2]</sup>。因此尽可能减少肿瘤转移是 TNBC 研究的主要目标之一，探索 TNBC 进展的潜在机制是开发新疗法的必要条件。

众所周知，上皮一间质转化(epithelial-mesenchymal transition, EMT) 是癌症发展中的一个关键过程，经过 EMT 的肿瘤细胞浸润到周围的基质中，形成有利于肿瘤生长转移的微环境<sup>[3]</sup>。其中转化生长因子  $\beta$  (transforming growth factor- $\beta$ , TGF- $\beta$ ) 被认为是 EMT 的有效诱导剂，是癌症转移的驱动因素<sup>[4-6]</sup>。同时有研究<sup>[7]</sup>表明，TNBC 中肿瘤细胞可自分泌过量的 TGF- $\beta$ ，使其信号轴激活，从而通过 Smad2、磷酸化 Smad2 及其他下游因子诱导 EMT。鉴于 TGF- $\beta$  拥有对 EMT 强烈的诱导作用，抑制 TGF- $\beta$  信号通路的药物可能是治疗 EMT 引起 TNBC 转移的一种潜在方法。淫羊藿昔(icariin, ICA) 是传统中药植物淫羊藿的化合物，具有抗肿瘤活性的药理作用<sup>[8]</sup>，对多种肿瘤均有明显的治疗作用<sup>[9]</sup>，但是对于 ICA 治疗 TNBC 的分子机制缺乏深入研究，因此该研究旨在探讨 ICA 能否通过调控 TGF- $\beta$ /Smad 信号通路而抑制 TNBC 侵袭转移。

## 1 材料与方法

**1.1 实验材料与仪器** 人三阴性乳腺癌细胞株 MDA-MB-231 和 MDA-MB-468 (美国 ATCC 公司，货号：CRM-HTB-26、HTB-132)；TGF- $\beta$  受体抑制剂 LY2109761 (美国 Selleck 公司，货号：S2704)；青霉素/链霉素/庆大霉素溶液、CCK-8 试剂盒和 EdU 试剂盒 (上海碧

云天生物技术有限公司，货号：C0223、C0038、C0085S）；Transwell 小室（美国 Corning 公司，货号：3464）；BCA 蛋白定量试剂盒（美国 Thermo Fisher 公司，货号：A55860）；PVDF 膜（美国 Millipore 公司，货号：IPVH00010）；超敏型 ECL 化学发光试剂盒（上海和元李记生物科技有限公司，货号：AP34L025）；神经钙粘蛋白(neural-cadherin, N-cadherin)抗体（英国 Abcam 公司，货号：ab76011）；基质金属蛋白酶 9(matrix metallprotein9, MMP9)抗体（沈阳万类生物科技有限公司，货号：WL03096）；波形蛋白(vimentin)抗体和磷酸化 Smad2(phosphorylated Smad2, P-Smad2)（美国 CST 公司，货号：5741、55041）；TGF- $\beta$ 1 抗体、Smad2 抗体（美国 Selleck 公司，货号：F1624、F0309）；GAPDH 抗体、山羊抗兔 IgG、和荧光抗兔 IgG（武汉爱博泰克公司，货号：A19056、AS014、AS053）；CO<sub>2</sub> 恒温培养箱（美国 Thermo Fisher 公司，型号：Heracell 240i）；免疫倒置荧光显微镜（日本 OLYMPUS 公司，型号：CKX41/U-RFLT50）；细胞超声破碎机（美国 SONICS 公司，型号：VCX130）；ChemiDoc MP 全能型成像系统（美国 BIO-RAD 公司，型号：ChemiDoc MP）。

## 1.2 方法

**1.2.1 细胞培养** MDA-MB-231 和 MDA-MB-468 细胞在含有 1% 青霉素/链霉素/庆大霉素溶液和 10% 胎牛血清 L-15 培养基中放入 5% CO<sub>2</sub>、37 °C 恒温培养箱内贴壁培养。每 1~2 d 换液，待细胞融合度达到 90% 用胰酶进行消化，按 1:2 比例传代，取 3~6 代进行细胞实验。

**1.2.2 CCK-8 实验检测细胞存活率** 取对数生长期的 MDA-MB-231 和 MDA-MB-468 细胞，以  $1 \times 10^4$  个/孔密度种于 96 孔板，放入培养箱孵育 24 h 后，按实验设计分别给予不同浓度 ICA 浓度（0、15、30、60、120  $\mu\text{mol/L}$ ）处理。培养箱中继续培养 48 h 后每孔加入 10% CCK-8 溶液，孵育 2 h，在 450 nm 处测出每孔光密度。计算细胞存活率。

**1.2.3 实验分组** 根据 CCK-8 实验结果分 2 批进行分组实验。第 1 批分为 2 组：对照组和实验组（15  $\mu\text{mol/L}$  ICA），用于检测细胞增殖、侵袭转移、EMT 和 TGF- $\beta$ /Smad 信号通路相关蛋白水平。第 2 批分 3 组：对照组、模型组（10  $\mu\text{mol/L}$  LY2109761）和 LY2109761+ICA 组（10  $\mu\text{mol/L}$  LY2109761+15  $\mu\text{mol/L}$  ICA），检测 TNBC 细胞内 EMT 和 TGF- $\beta$  信号通路相关蛋白表达。

**1.2.4 平板克隆实验检测细胞增殖** 以 1 000 个/孔的密度将 MDA-MB-231 和 MDA-MB-468 细胞接种于 6 孔板中，待细胞贴壁后按分组更换含药培养基，3 d 换液 1 次，持续培育 2 周。2 周后弃去上清液，用 PBS 冲洗 3 次，每孔加入 600  $\mu\text{L}$  4% 多聚甲醛

溶液进行固定。15 min 后弃去多聚甲醛溶液，PBS 进行冲洗，每孔加入 600 $\mu$ L 结晶紫溶液染色，30 min 后弃去结晶紫溶液，PBS 缓慢冲洗染料，至清洗干净，晾干后拍照，统计细胞克隆数量。

**1.2.5 EdU 实验评估细胞增殖情况** 把 MDA-MB-231 和 MDA-MB-468 细胞以  $1\times 10^4$  个/孔密度接种于 24 孔板中，细胞贴壁后按照分组更换培养液，48 h 后按照 EdU 试剂盒说明书进行细胞固定和标记，染色后在倒置显微镜下拍照。

**1.2.6 划痕实验检测细胞迁移** 把 MDA-MB-231 和 MDA-MB-468 细胞接种于 6 孔板中，待细胞长至均匀铺满皿底时，用枪头在 6 孔板内进行纵行“一”字划线，PBS 冲洗未贴壁细胞，在倒置显微镜下随机拍摄 3 个视野记录为 0 h。然后向各孔加入相应药物继续培养 24 h 后在倒置显微镜下观察划痕 0 h 同一位置细胞迁移情况并拍照。

**1.2.7 Transwell 实验检测细胞迁移侵袭** 将小室置于 24 孔板中，细胞分组及给药按照“1.2.3”项，MDA-MB-231 和 MDA-MB-468 细胞按  $1\times 10^5$  个/孔密度接种在含 300  $\mu$ L 无血清培养液的 Transwell 上室中，下室加入 700  $\mu$ L 含有 20% FBS 的培养液。侵袭实验需在小室中先铺上基质胶。48 h 后将上清液吸出用 PBS 清洗，4% 多聚甲醛溶液固定 15 min，0.1% 结晶紫染液染色 15 min，静置晾干，用棉签轻轻擦上室，在倒置显微镜下拍照。

**1.2.8 细胞免疫荧光实验检测细胞上皮间质转化指标** 细胞接种在 96 孔板中培养过夜。细胞分组及给药按照“1.2.3”项。用 PBS 洗涤 2 次，甲醛固定 15 min，0.2% Triton X 渗透 5 min，5% BSA 室温封闭 1 h 后一抗（Vimentin，1:100）4 °C 孵育过夜，然后用荧光二抗孵育 1 h。DAPI 复染，在倒置荧光显微镜下拍照。

**1.2.9 Western blot 检测 N-cadherin、MMP9、Vimentin、TGF- $\beta$ 1、Smad2、P-Smad2 蛋白表达水平** 将 MDA-MB-231 和 MDA-MB-468 细胞按照“1.2.3”项进行分组和给药，放入培养箱培养 48 h，弃去上清液用 PBS 洗涤 2 次，按照  $1\times 10^6$  个/孔的细胞密度分别加入 100~200  $\mu$ L 裂解液，置于冰上充分裂解 15 min，收入离心管，12 000r/min 离心 15 min，取蛋白上清液用 BCA 法测定蛋白浓度并统一定量为 2 mg/mL。取每组样本蛋白 10  $\mu$ L 进行 SDS-PAGE 凝胶电泳，随后将蛋白转至 PVDF 膜上，再用 5% BSA 封闭液封闭 1 h，加入相应一抗（N-cadherin、MMP9、Vimentin、TGF- $\beta$ 1、Smad2、P-Smad2，浓度均为 1:1 000）4 °C 过夜，第 2 d 拿出吸取一抗后洗膜 3 次，加入对应的山羊抗兔 IgG（1:2 000）室温摇床孵育 1 h，洗膜 3 次后用超敏型 ECL 化学发光液显影。

**1.2.10 统计学处理** 使用 GraphPad Prism 8 软件统计实验数据，结果用均数±标准差 ( $\bar{x} \pm s$ ) 表示。两组之间满足正态分布和方差齐性，采用独立样本 *t* 检验分析，多组间比较采用单因素方差分析，事后两两比较采用 Dunnett-*t* 检验， $P < 0.05$  为差异具有统计学意义。

## 2 结果

**2.1 ICA 对 TNBC 细胞增殖能力的影响** CCK-8 实验显示 (图 1A)，不同浓度 ICA (0、15、30、60、120  $\mu\text{mol/L}$ ) 分别干预 MDA-MB-231 和 MDA-MB-468 细胞 48 h 后，ICA 对两种细胞的增殖活性均有抑制作用且呈浓度依赖性 ( $F_{\text{趋势}}=241.1、779.8$ ，均  $P < 0.05$ )，为尽量消除 ICA 对 TNBC 细胞的毒性影响，本实验选择低于半数抑制浓度的 15  $\mu\text{mol/L}$  进行后续实验。细胞克隆实验结果显示 (图 1B)，与对照组相比，实验组 MDA-MB-231 和 MDA-MB-468 细胞克隆形成受到抑制，差异有统计学意义 ( $t=4.419、3.512$ ，均  $P < 0.05$ )。EdU 实验结果显示 (图 1C)，与对照组相比，实验组两种细胞棕色阳性的增殖细胞发生减少，差异有统计学意义 ( $t=40.25、5.37$ ，均  $P < 0.01$ )。证明 ICA 能抑制 TNBC 细胞增殖。

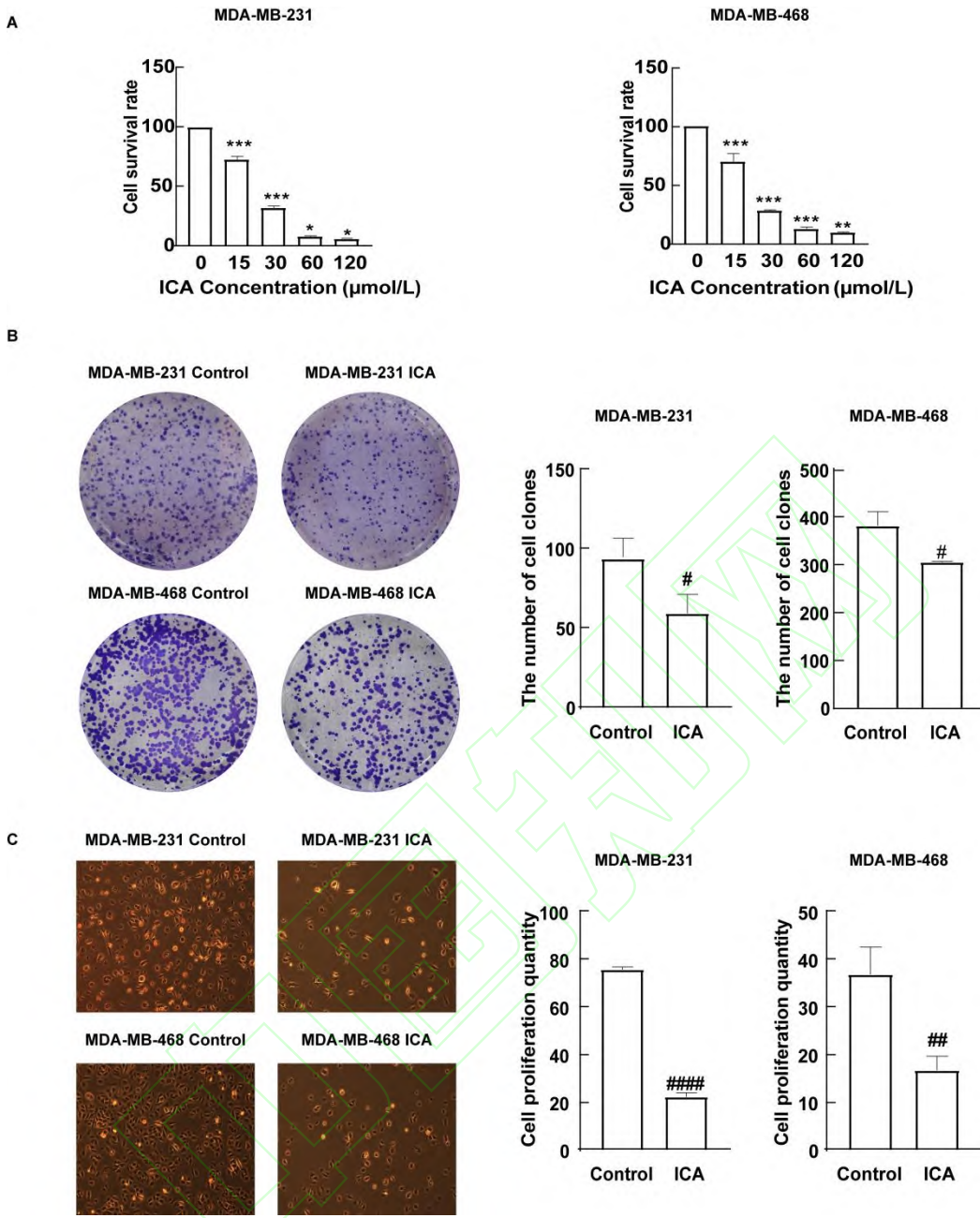


图 1 ICA 对 TNBC 细胞增殖活性的影响

Fig.1 The effects of ICA on the proliferative activity of TNBC cells

A: Proliferation inhibition rates of MDA-MB-231 and MDA-MB-468 cells treated with ICA; B: Representative images of colony formation assay ( $\times 100$ ) and quantitative histogram analysis; C: EdU incorporation assay with DAB staining ( $\times 100$ ) and quantitative histogram analysis; \* $P<0.05$ , \*\* $P<0.01$ , \*\*\* $P<0.001$  vs 0  $\mu\text{mol/L}$ ; # $P<0.05$ , ## $P<0.01$ , ##### $P<0.0001$  vs Control group.

## 2.2 ICA 对 TNBC 细胞侵袭转移能力的影响

细胞划痕实验结果显示（图 2A），与对

照组相比较,实验组处理24 h后,MDA-MB-231和MDA-MB-468细胞迁移距离受到抑制,差异有统计学意义( $t=8.620$ 、 $2.831$ ,均 $P<0.05$ )。细胞Transwell实验结果显示(图2B),与对照组相比,实验组MDA-MB-231和MDA-MB-468细胞48 h穿过滤膜的数量下降,差异有统计学意义( $t_{\text{迁移}}=3.460$ 、 $7.156$ , $t_{\text{侵袭}}=6.995$ 、 $3.011$ ,均 $P<0.05$ )。证明ICA可减弱TNBC细胞迁移侵袭。

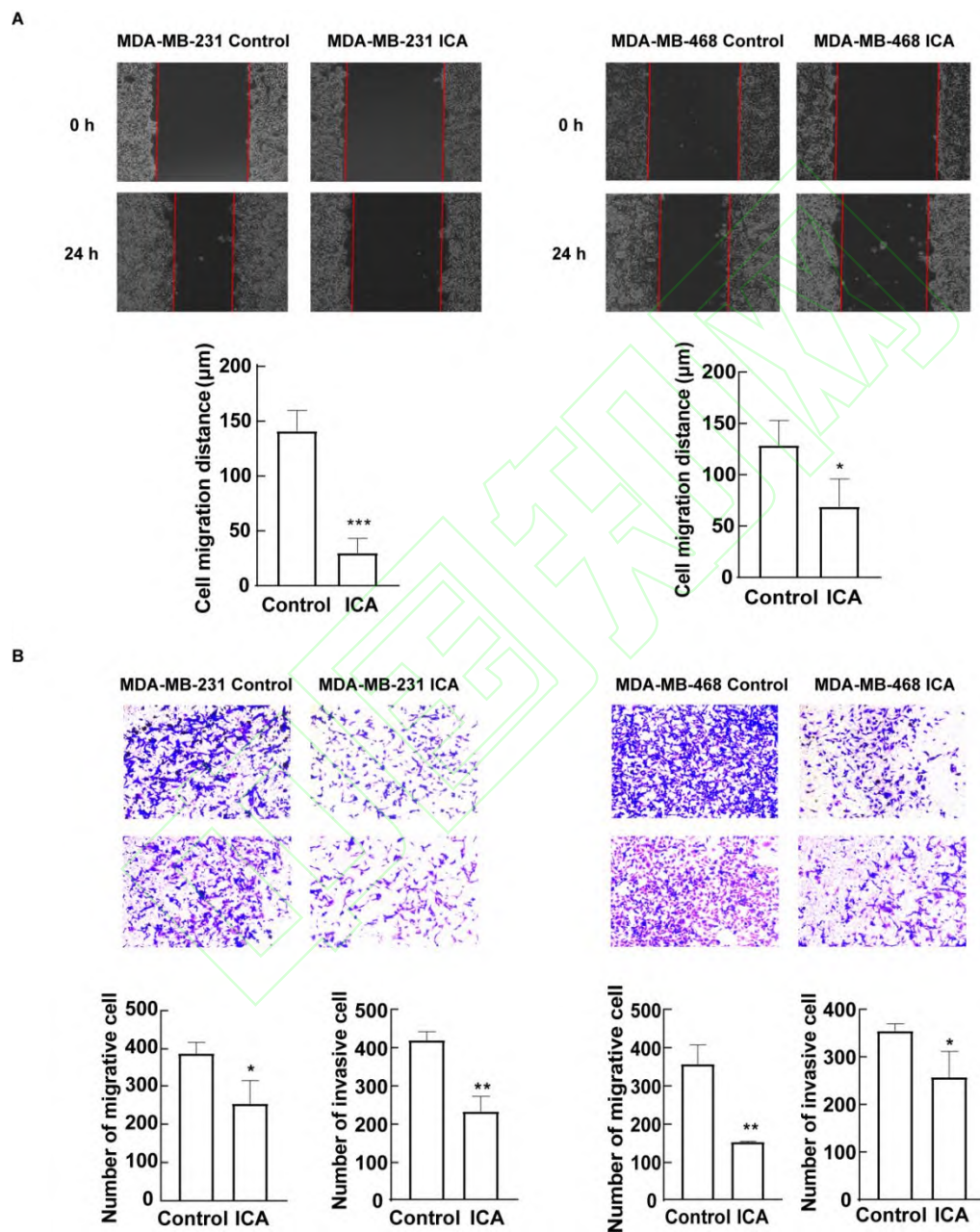


图2 ICA对TNBC细胞迁移侵袭能力的影响

**Fig.2 The effects of ICA on the migratory and invasive capacities of TNBC cells**

A: Representative images of wound healing assay ( $\times 100$ ) and quantitative histogram analysis;

B: Transwell invasion assay with crystal violet staining ( $\times 100$ ) and quantitative histogram analysis;

\* $P < 0.05$ , \*\* $P < 0.01$ , \*\*\* $P < 0.001$  vs Control group.

### 2.3 ICA 对 TNBC 细胞中 EMT 相关蛋白表达的影响

Western blot 结果显示（图 3A），

与对照组相比，实验组 MDA-MB-231 和 MDA-MB-468 细胞中 N-cadherin、MMP9、Vimentin 蛋白相对表达含量均降低，差异有统计学意义 ( $t_{N\text{-cadherin}}=9.818$ 、 $42.850$ ,  $t_{MMP9}=3.111$ 、 $2.914$ ,  $t_{Vimentin}=2.801$ 、 $5.180$ , 均  $P < 0.05$ )。免疫荧光结果显示（图 3B），与对照组相比，实验组 MDA-MB-231 和 MDA-MB-468 细胞中 Vimentin 蛋白表达明显下降，差异有统计学意义 ( $t=3.489$ 、 $8.234$ , 均  $P < 0.05$ )。证明 ICA 可抑制 TNBC 上皮间质转化。

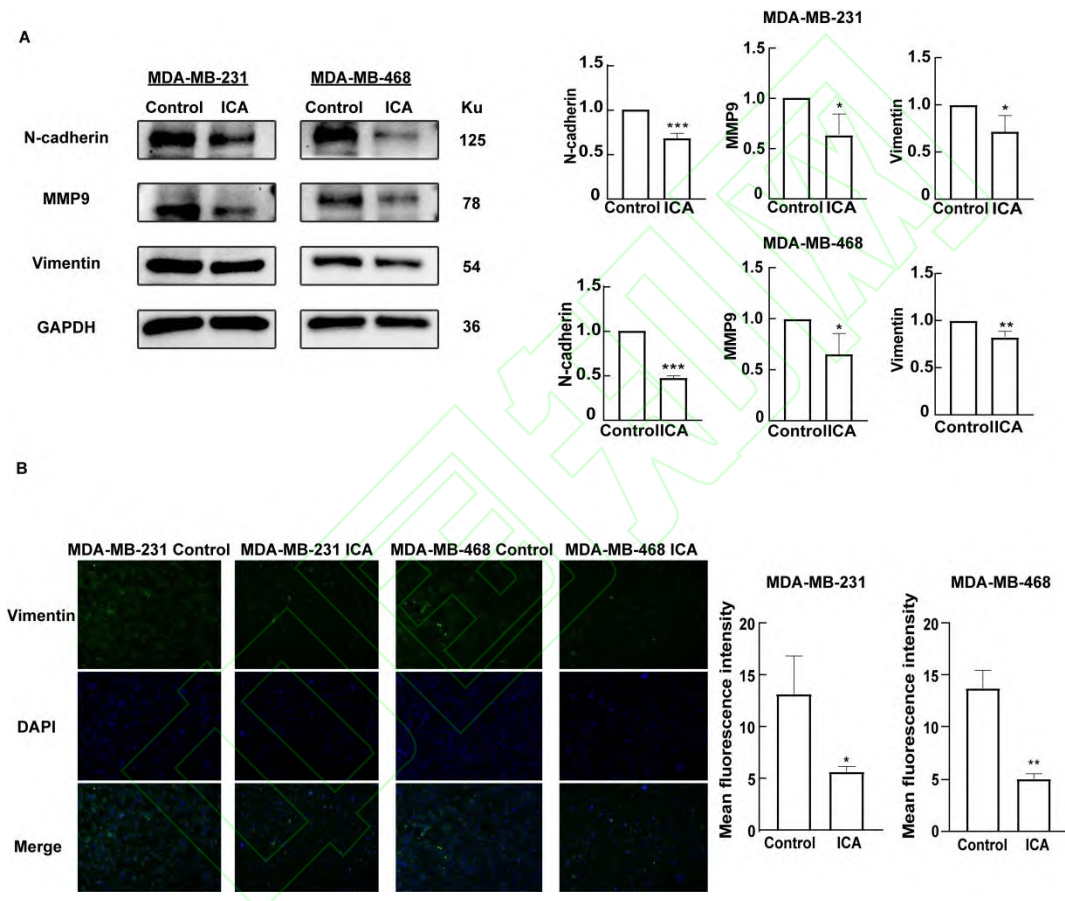


图 3 ICA 对 TNBC 细胞迁移侵袭及 EMT 相关蛋白的影响

Fig.3 The effects of ICA on TNBC cell migration, invasion, and EMT-related protein expression

A: N-cadherin, MMP9, and Vimentin protein levels in two cell lines were analyzed by Western blot with corresponding histograms; B: Representative immunofluorescence assay images ( $\times 100$ ) and quantitative histogram analysis; \* $P < 0.05$ , \*\* $P < 0.01$ , \*\*\* $P < 0.001$  vs Control group.

### 2.4 ICA 对 TNBC 细胞中 TGF-β/Smad 信号通路相关蛋白表达的影响

Western blot 结果

显示(图4)，相较于对照组，实验组TGF- $\beta$ 1、Smad2、P-Smad2蛋白相对表达含量发生下降( $t_{TGF-\beta 1}=16.56$ 、 $4.227$ ,  $t_{Smad2}=4.588$ 、 $6.675$ ,  $t_{P-Smad2}=4.612$ 、 $2.799$ , 均 $P<0.05$ )。证明ICA可能通过抑制TGF- $\beta$ /Smad信号通路影响TNBC进展。

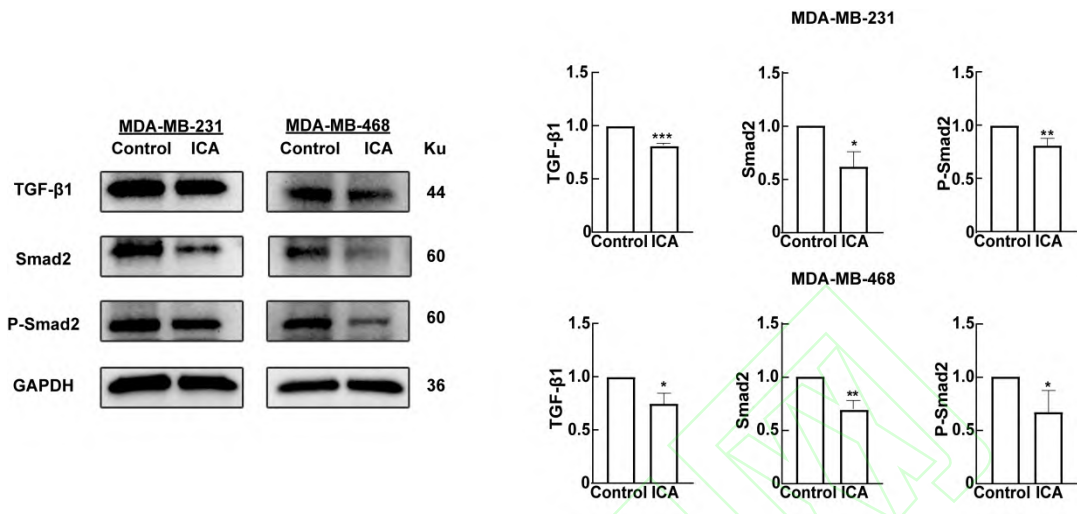


图4 Western blot 检测 ICA 对 TNBC 细胞中 TGF- $\beta$ /Smad 通路相关蛋白的影响

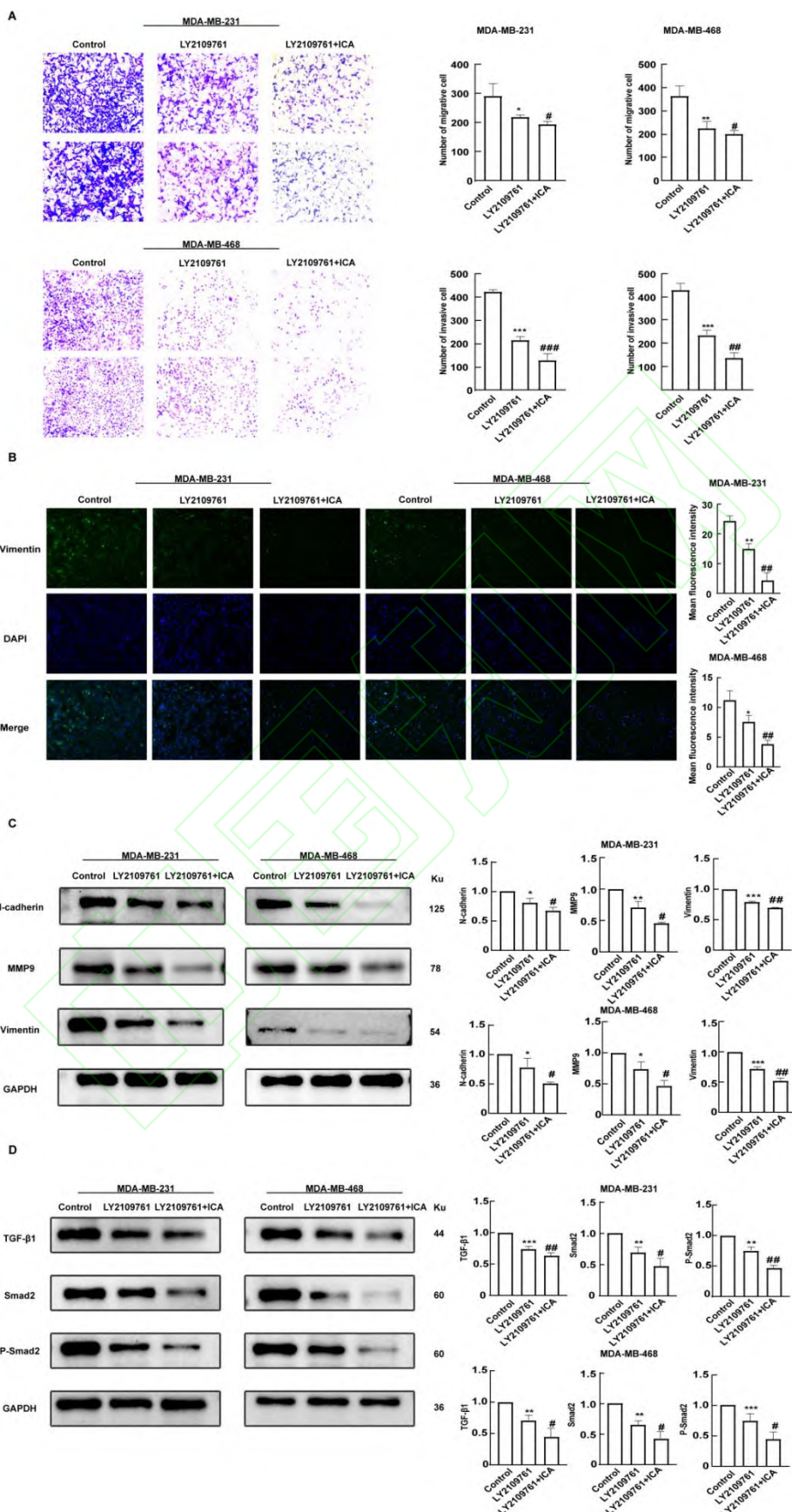
**Fig.4 Western blot assay investigated the effects of ICA on the TGF- $\beta$ /Smad pathway-related proteins in TNBC cells**

\* $P<0.05$ , \*\* $P<0.01$ , \*\*\* $P < 0.001$  vs Control group.

## 2.5 加入TGF- $\beta$ 受体抑制剂后，ICA对TNBC细胞中侵袭转移、EMT相关蛋白和TGF- $\beta$ /Smad通路相关蛋白表达的影响

对实验进行二次分组后，Transwell实验结果显示(图5A)，相较于对照组，模型组中细胞48 h迁移侵袭能力下降( $t_{MDA-MB-231}=2.949$ 、 $19.770$ ,  $t_{MDA-MB-468}=4.648$ 、 $9.228$ , 均 $P<0.05$ )；相较于模型组，LY2109761+ICA组细胞迁移侵袭能力进一步下降，差异有统计学意义( $t_{MDA-MB-231}=3.234$ 、 $17.100$ ,  $t_{MDA-MB-468}=3.228$ 、 $5.932$ , 均 $P<0.05$ )。细胞免疫荧光结果显示(图5B)，相较于对照组，模型组细胞中Vimentin蛋白表达下降( $t_{MDA-MB-231}=6.593$ ,  $t_{MDA-MB-468}=3.134$ )；相较于模型组，LY2109761+ICA组细胞中Vimentin蛋白表达进一步下降，差异有统计学意义( $t_{MDA-MB-231}=5.716$ 、 $5.112$ , 均 $P<0.01$ )。Western blot结果显示(图5C、5D)：相较于对照组，模型组中细胞N-cadherin、MMP9、Vimentin、TGF- $\beta$ 1、Smad2和P-Smad2蛋白相对表达含量发生下降( $t_{MDA-MB-231}=4.379$ 、 $5.130$ 、 $17.080$ 、 $9.389$ 、 $6.041$ 、 $7.243$ ,  $t_{MDA-MB-468}=4.131$ 、 $3.741$ 、 $11.670$ 、 $6.185$ 、 $8.667$ 、 $3.598$ , 均 $P<0.05$ )；相较于模型组，LY2109761+ICA组中细胞N-cadherin、MMP9、Vimentin、TGF- $\beta$ 1、Smad2以及P-Smad2蛋白相对表达含量进一步下降( $t_{MDA-MB-231}=2.787$ 、 $4.461$ 、 $7.013$ 、 $4.612$ 、 $3.379$ 、 $6.829$ ,  $t_{MDA-MB-468}=3.738$ 、 $3.171$ 、 $5.252$ 、 $3.477$ 、 $2.901$ 、 $3.050$ , 均 $P<$

0.05）。证明 ICA 可能通过下调 TGF- $\beta$ /Smad 通路抑制 TNBC 细胞侵袭转移。



## 图5 加入 TGF- $\beta$ 受体抑制剂后，ICA 对 TNBC 细胞侵袭转移、EMT 及 TGF- $\beta$ /Smad 通路相关蛋白的影响

**Fig.5 The effects of ICA combined with TGF- $\beta$  receptor inhibitor on TNBC cell invasion, EMT, and TGF- $\beta$ /Smad pathway-related proteins**

A: The Transwell invasion assay was performed with crystal violet staining (magnification,  $\times 100$ ), and quantitative histogram analysis was conducted; B: Representative immunofluorescence assay images were captured (magnification,  $\times 100$ ), and quantitative histogram analysis was conducted; C: The protein levels of N-cadherin, MMP9, and Vimentin were analyzed by Western blot in three treatment groups, and quantitative histogram analysis was conducted; D: The protein levels of TGF- $\beta$ 1, Smad2, and P-Smad2 were examined by Western blot in three treatment groups, and quantitative histogram analysis was conducted; \* $P < 0.05$ , \*\* $P < 0.01$ , \*\*\* $P < 0.001$  vs Control group; # $P < 0.05$ , ## $P < 0.01$ , ### $P < 0.001$  vs LY2109761 group.

### 3 讨论

转移是影响恶性肿瘤预后的重要因素，有数据显示，女性转移性乳腺癌的五年生存率仅为 29%<sup>[1]</sup>。EMT 被认为是促进肿瘤进展和转移的重要因素，因此探索 EMT 相关的抑制药物具有重要的临床意义<sup>[10-11]</sup>。ICA 作为传统中药淫羊藿的有效成分，具有抗肿瘤和抗骨质疏松等多种药理作用<sup>[12-13]</sup>，并且 ICA 作为治疗肝癌抗肿瘤药物已进入临床应用<sup>[14]</sup>。但是有关 ICA 对 TNBC 的研究仍较少，因此本研究通过 CCK-8、平板克隆、EdU 实验观察了 ICA 对 TNBC 细胞增殖能力的影响，结果显示 ICA 作用后的 TNBC 细胞增殖能力明显减弱。然后进一步采用划痕愈合、Transwell 实验发现 ICA 处理的 TNBC 细胞侵袭转移能力也明显减弱。免疫荧光和 Western blot 实验结果显示 ICA 作用后 TNBC 细胞中 EMT 相关蛋白 N-Cadherin、MMP9 和 Vimentin 表达也明显降低。

据报道<sup>[15]</sup>，癌症晚期中的 TGF- $\beta$  过度表达与癌症侵袭转移性呈正相关。且有研究<sup>[16]</sup>表明，自分泌的 TGF- $\beta$  信号传导已被证明是促进乳腺癌细胞存活的关键要素之一。例如，RUNX2 转录因子被发现通过调节 TGF- $\beta$  信号通路影响乳腺癌干细胞的特性，进而导致化疗耐药性<sup>[17]</sup>。TGF- $\beta$ /Smad 信号通路作为一个重要的细胞内信号转导通路，在 TNBC 发展中发挥着关键作用<sup>[18]</sup>。从机制上讲，TGF- $\beta$ 1 通过与其 II 型受体相结合，活化 I 型受体，进而与 Smad2 相互作用，发生 Smad2 的磷酸化，从而调控多种下游基因的表达，促进肿瘤发生发展<sup>[18-19]</sup>。本研究 Western blot 实验结果显示 ICA 能够明显抑制 TGF- $\beta$ /Smad 通路相关蛋白 TGF- $\beta$ 1、Smad2 和 P-Smad2 表达，且联合 TGF- $\beta$  受体抑制剂后该通路受到进一步抑制、

TNBC 细胞的 EMT 相关蛋白及细胞侵袭转移能力进一步降低,验证了 ICA 及联合 TGF- $\beta$  受体抑制剂 LY2109761 对 TGF- $\beta$ /Smad 通路相关蛋白和 TNBC 侵袭转移能力的影响。

综上所述,本研究证实 ICA 可靶向抑制 TGF- $\beta$ /Smad 信号通路进而抑制 TNBC 细胞侵袭转移和 EMT,为 ICA 开发应用于抗 TNBC 临床治疗提供一定的理论和数据支撑。

## 参考文献

- [1] Siegel R L, Miller K D, Fuchs H E, et al. Cancer statistics, 2022[J]. CA A Cancer J Clin, 2022, 72(1): 7-33. doi: 10.3322/caac.21708.
- [2] Visvader J E, Rosen J M, Aparicio S. Breast cancer[J]. Cold Spring Harb Perspect Med, 2024, 14(8): a041729. doi: 10.1101/cshperspect.a041729.
- [3] Ray I, Michael A, Meira L B, et al. The role of cytokines in epithelial-mesenchymal transition in gynaecological cancers: a systematic review[J]. Cells, 2023, 12(3): 416. doi: 10.3390/cells12030416.
- [4] Kundu M, Greer Y E, Dine J L, et al. Targeting TRAIL death receptors in triple-negative breast cancers: challenges and strategies for cancer therapy[J]. Cells, 2022, 11(23): 3717. doi: 10.3390/cells11233717.
- [5] Wang X, Eichhorn P J A, Thiery J P. TGF- $\beta$ , EMT, and resistance to anti-cancer treatment[J]. Semin Cancer Biol, 2023, 97: 1-11. doi: 10.1016/j.semcaner.2023.10.004.
- [6] Liu H, Chen Y G. Spermine attenuates TGF- $\beta$ -induced EMT by downregulating fibronectin[J]. J Biol Chem, 2025, 301(4): 108352. doi: 10.1016/j.jbc.2025.108352.
- [7] Luo D, Zeng X, Zhang S, et al. Pirfenidone suppressed triple-negative breast cancer metastasis by inhibiting the activity of the TGF- $\beta$ /SMAD pathway[J]. J Cell Mol Med, 2023, 27(3): 456-69. doi: 10.1111/jcmm.17673.
- [8] Liu S P, Li Y F, Zhang D, et al. Pharmacological actions of the bioactive compounds of *Epimedium* on the male reproductive system: current status and future perspective[J]. Asian J Androl, 2025, 27(1): 20-9. doi: 10.4103/aja20248.
- [9] Xu F, Wu Q, Li L, et al. Icariside II: anticancer potential and molecular targets in solid cancers[J]. Front Pharmacol, 2021, 12: 663776. doi: 10.3389/fphar.2021.663776.
- [10] 孙恒星, 熊梦婷, 谢栓栓, 等. 上皮间充质转化:肺癌侵袭转移及耐药性的生物学基础与临床展望[J]. 中国肺癌杂志, 2025, 28(2): 155-64.

Sun H X, Xiong M T, Xie S S, et al. Epithelial-mesenchymal transition: biological basis and clinical prospects of lung cancer invasion, metastasis, and drug resistance[J]. Chin J Lung Cancer, 2025, 28(2): 155-64.

[11] Tan T, Shi P, Abbas M N, et al. Epigenetic modification regulates tumor progression and metastasis through EMT (Review)[J]. Int J Oncol, 2022, 60(6): 70. doi: 10.3892/ijo.2022.5360.

[12] Wang Y, Shang C, Zhang Y, et al. Regulatory mechanism of icariin in cardiovascular and neurological diseases[J]. Biomed Pharmacother, 2023, 158: 114156. doi: 10.1016/j.biopha.2022.114156.

[13] 安 庆, 刘国雄, Bikash Kumar Sah, 等. 淫羊藿苷对 MC3T3-E1 细胞增殖分化的影响及机制研究 [J]. 安徽医科大学学报, 2019, 54(6): 893-8. doi: 10.19405/j.cnki.issn1000-1492.2019.06.012.

An Q, Liu G X, Sah B, et al. Effects of icariin on proliferation and differentiation of MC3T3-E1 cells and its mechanism[J]. Acta Univ Med Anhui, 2019, 54(6): 893-8. doi: 10.19405/j.cnki.issn1000-1492.2019.06.012.

[14] Reyes-Hernández O D, Figueroa-González G, Quintas-Granados L I, et al. New insights into the anticancer therapeutic potential of icaritin and its synthetic derivatives[J]. Drug Dev Res, 2024, 85(2): e22175. doi: 10.1002/ddr.22175.

[15] Wang J, Xu Z, Wang Z, et al. TGF-beta signaling in cancer radiotherapy[J]. Cytokine, 2021, 148: 155709. doi: 10.1016/j.cyto.2021.155709.

[16] Du L, Li J, Tian Y, et al. Pleckstrin-2-promoted PPM1B degradation plays an important role in transforming growth factor- $\beta$ -induced breast cancer cell invasion and metastasis[J]. Cancer Sci, 2023, 114(6): 2429-44. doi: 10.1111/cas.15791.

[17] Lv F, Si W, Xu X, et al. RUNX2 prompts triple negative breast cancer drug resistance through TGF- $\beta$  pathway regulating breast cancer stem cells[J]. Neoplasia, 2024, 48: 100967. doi: 10.1016/j.neo.2024.100967.

[18] 谷泽慧, 王亚帝, 谭 琦, 等. 干预 miR-206/MECOM/TGF- $\beta$ /smad3 轴对三阴性乳腺癌恶性进展的影响机制 [J]. 锦州医科大学学报, 2024, 45(5): 93-9. doi: 10.13847/j.cnki.lnmu.2024.05.013.

Gu Z H, Wang Y D, Tan Q, et al. Effect and mechanism of miR-206/MECOM/TGF- $\beta$ /smad3 axis in inhibiting the malignant progression of triple-negative breast cancer[J]. J Jinzhou Med Univ, 2024,

45(5): 93-9. doi: 10.13847/j.cnki.lnmu.2024.05.013.

[19] Shi X, Yang J, Deng S, et al. TGF- $\beta$  signaling in the tumor metabolic microenvironment and targeted therapies[J]. *J Hematol Oncol*, 2022, 15(1): 135. doi: 10.1186/s13045-022-01349-6.

[20] Chan M K, Chung J Y, Tang P C, et al. TGF- $\beta$  signaling networks in the tumor microenvironment[J]. *Cancer Lett*, 2022, 550: 215925. doi: 10.1016/j.canlet.2022.215925.

